

## Vysokoteplotní plazma na tokamaku GOLEM

**Abstrakt:** Cílem úlohy je základní seznámení s fyzikálně-technologickou problematikou generace vysokoteplotního plazmatu v nádobách s magnetickým udržením – tokamacích – a změření základních fyzikálních parametrů popisujících plazmu: proud plazmatem  $I_p$ , elektronovou teplotu  $T_e$ , dobu udržení  $\tau_E$  a parametry, při nichž dochází k průrazu neutrálního plynu do plazmatu. Úloha také slouží k nácviku dálkového řízení komplexního experimentálního zařízení, správnému časovému rozvržení experimentu a vytěžení užitečné informace z velkých objemů experimentálních dat.

### 1 Pracovní úkoly

1. V domácí přípravě se naučte manipulaci se vzdálenými datovými soubory [3]. Pokud máte možnost, přineste si s sebou na měření notebook, na kterém máte tyto funkce manipulace se vzdálenými soubory dat zprovozněné. Na stejné stránce najdete přidělené web rozhraní, ze kterého budete ovládat tokamak. Seznamte se s ním.
2. V laboratoři tokamaku se seznamte fyzicky s tokamakem GOLEM a zmapujte na něm jeho základní prvky: komoru, transformátorové jádro, cívky toroidálního magnetického pole, primární cívky, čerpací systém, energetický zdroj, kondenzátorové baterie, systém napouštění pracovního plynu, řídící systémy, datový sběr a server. S pomocí asistenta prověřte funkci jednotlivých komponent infrastruktury tokamaku:
  - (a) vypněte a zapněte čerpání tokamaku,
  - (b) napusťte do tokamaku pracovní plyn,
  - (c) vyzkoušejte předionizační trysku.
3. V laboratoři tokamaku osadte tokamak základními diagnostickými prostředky (drát na měření napětí na závit  $U_l$ , cívečka měření toroidálního magnetického pole  $B_t$ , Rogowského pásek pro měření  $I_p$  a fotodiodu s  $H_\alpha$  filtrem), napojte vše na 4-kanálový osciloskop Tektronix (resp. na datové sběry) a zaznamenávejte časové vývoje signálů jednotlivých diagnostik. Proveďte následující seznamovací experimenty (pro přístup k datům na vzdáleném serveru použijte metodu z pracovního úkolu č.1):
  - Vygenerujte na tokamaku samostatné toroidální elektrické pole  $E_t$  a zaznamenejte časový průběh napětí na závit  $U_l(t)$ . Z jeho průběhu a signálu z Rogowského pásku  $I_{tot}(t)$  odhadněte z Ohmova zákona v prvním přiblžení odpor komory  $R_{ch}$  se zanedbáním její indukčnosti.
  - Vygenerujte na tokamaku samostatné toroidální magnetické pole  $B_t$  a zaznamenejte časový průběh napětí na měřící cívce  $U_B(t)$ .
  - Vytvořte komplexní zadání pro výboj (pracovní plyn + předionizace + toroidální elektrické pole + toroidální magnetické pole) v tokamaku a zadejte k provedení. Z napětí na závit  $U_l(t)$  a průběhu proudu na Rogowského pásku  $I_{tot}(t)$  vypočítejte časový vývoj proudu plazmatem  $I_p(t)$  se zanedbáním jeho indukčnosti. Následně znázorněte časový vývoj elektronové teploty  $T_e(t)$ .
 Všechny závislosti získané z improvizované diagnostiky srovnávejte s původním diagnostickým osazením tokamaku GOLEM.
4. Vzdáleným řízením proveděte 10 výbojů, ve kterých se budete snažit pokrýt maximálně prostor parametrů (zadávejte co nejpestřejší spektrum parametrů výbojů), přičemž se pokusíte dosáhnout co nejvyšší elektronové teploty.

5. Doma, při zpracovávání výsledků vytvořte tabulkou 5 výstřelů s nejvyšší  $T_e$  a u každého uveďte vámí vypočtené parametry: délku výboje, maximální proud plazmatem, maximální elektronovou teplotu, maximální ohmický příkon, maximální energii plazmatu a dobu udržení v době maxima energie plazmatu.

## 2 Pomůcky

**Pomůcky:** Zařízení pro generaci a udržení vysokoteplotního plazmatu – tokamak GOLEM, pracovní plyn – vodík,  $U_t$  cívka,  $B_t$  cívka, Rogowského pásek, fotodioda,  $H_\alpha$  filtr, měrka vakuua, systémy datových sběrů, osciloskop Tektronix.

## 3 Teoretický úvod

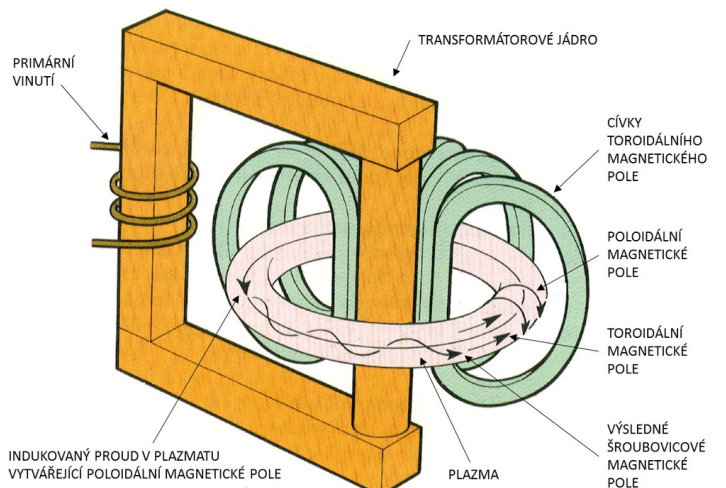
Zdůrazňujeme, že následující výklad je velmi strohou zkratkou fyzikálně-technologické problematiky zvládnutí řízené termojaderné fúze v nádobách s magnetickým udržením (*tokamacích*) v pozemských podmínkách.

### 3.1 Plazma

Plazma je kvazineutrální plyn vzniklý ionizací atomů neutrálního plynu. Skládá se tedy ze dvou hlavních složek, elektronů a iontů. Většina iontů pochází z pracovního plynu, např. vodíku. V reálném plazmatu je přítomné také malé, ale nezanedbatelné množství nečistot, jako je dusík, kyslík anebo uhlík. Vlastnosti plazmatu se v mnoha ohledech liší od klasického plynu, především kvůli rozdílnému typu interakcí. Zatímco v klasickém plynu dochází zpravidla k lokálním srážkám pouze dvou částic, jednotlivé části plazmatu spolu v tokamaku interagují prostřednictvím dalekodosahových magnetických a elektrických polí, takže na každou částici najednou působí velké množství jiných částic na vzdálenosti řádově až metrů. Kvazineutralitou se rozumí, že makroskopický náboj plazmatu je nulový, a kolektivní chování poukazuje na reakci plazmatu na přítomnost elektromagnetických polí jako celek. Důsledkem tohoto chování jsou unikátní vlastnosti plazmatu, z nichž mnoho stále není zcela pochopeno, a které jsou součástí intenzivního vědeckého výzkumu.

### 3.2 Tokamak

Hlavním cílem fúzního výzkumu je vytvoření a udržení vysokoteplotního plazmatu. Mělo by zde docházet k jaderné přeměně – sloučení lehkých prvků na těžší za uvolnění velkého množství energie působením jaderných vazebních sil. Takové zařízení by mohlo v budoucnu sloužit jako prakticky nevyčerpatelný, bezpečný a co do odpadů téměř neškodný zdroj energie pro lidstvo. Technologické řešení tohoto úkolu vyžaduje splnění několika nesnadných úkolů: i) zahřátí paliva na požadovanou teplotu řádově miliónů stupňů Celsia, čehož dosahujeme aplikací ohmického ohřevu, ohrevem elektromagnetickými vlnami o vhodné frekvenci a také vstřelováním svazků velmi urychlených neutrálních částic a ii) zabránění kontaktu takto horké látky (plazmatu) se stěnou reaktoru, čehož dosahujeme vhodnou konfigurací komory a tvaru magnetického pole. Typickým zařízením na generaci a studium vysokoteplotního plazmatu je *tokamak* (Obr. 1). Jde o transformátor, jehož jediným sekundárním závitem (nakrátko) je vysokoteplotní – a tedy dobře vodivé – plazma. Plazma je uzavřeno ve vakuové nádobě tvaru



Obr. 1: Základní schéma tokamaku. Převzato z [4].

Velmi urychlené neutrálne časticie (ionty a elektrony) v plazme se v tokamaku využívají k vytváření magnetických polí, která udržují plazmu v uzavřeném prostoru. Tento proces je nazýván magnetickou konfinací. Magnetické pole je vytvářeno pomocí magnetických cívek (cívky toroidálního magnetického pole, poloidální magnetické pole a šroubovicové magnetické pole) umístěných na transformátorovém jádru. Elektrický proud v primárním vinutí vytváří indukovaný proud v plazmatu, který vytváří poloidální magnetické pole. Tento proces je nazýván ohmickým ohrevem. Plazma je uzavřeno v vakuové nádobě, aby bylo možné udržet vysokou teplotu a tlak v plazmatu.

toroidu, na které je navinuta cívka vytvářející prstencové (toroidální) magnetické pole. Základní princip fungování tokamaku je založen na aplikaci Maxwellových rovnic v integrálním tvaru [11].<sup>1</sup> Proud  $I_{PC}$ <sup>2</sup> v primáru transformátoru generuje magnetické pole  $\mathbf{B}_{transf}$ , resp. magnetický indukční tok  $\Phi_{transf}$  a ten je za pomoci železného jádra vyveden a koncentrován do středu toroidu jako  $\Phi_{tor}$ . Pokud se proud  $I_{PC}$  mění, bude se také měnit magnetický indukční tok  $\Phi_{tor}$  ve středu toroidu a dle Faradayova zakona dá vzniknout elektromotorickému napětí  $\mathcal{E}^{ind}$ , resp. toroidálnímu elektrickému poli  $\mathbf{E}_t$  (na Obr. 1 ve směru černé šipky uprostřed):

$$\mathcal{E}^{ind} = \oint_{l_{tor}} \mathbf{E}_t \cdot d\mathbf{l} = -\frac{d\Phi_{tor}}{dt} = -\frac{d}{dt} \int_{S_{tor}} \mathbf{B}_{tor} \cdot d\mathbf{S}. \quad (1)$$

Při dosažení jeho dostatečné intenzity dojde k průrazu velmi řídkého pracovního plynu do plazmatu, což je lavinový proces s kladnou zpětnou vazbou: s rostoucím proudem plazmatu  $I_p$ , případně příslušnou proudovou hustotou  $\mathbf{j}_p$ , roste dle Jouleova-Lenzova zákona teplota, čímž se zlepšuje vodivost plazmatu a dále narůstá proud  $I_p$  až do řádů  $\sim 10^3 - 10^7$  A. Dynamickou rovnováhu nakonec ustaví rostoucí ztráty tepla. Během výboje je plazma udržováno v centru komory (plazma se nesmí komory dotýkat) Lorentzovou silou  $\mathbf{j}_p \times \mathbf{B}$ . Požadovaná (šroubovicová) stabilní konfigurace magnetického pole  $\mathbf{B} = \mathbf{B}_p + \mathbf{B}_t$  vzniká kombinací poloidálního<sup>3</sup> magnetického pole  $\mathbf{B}_p$  vytvářeného proudem plazmatu  $I_p$  a toroidálního magnetického pole vytvářeného soustavou  $N$  vnějších cívek. Tyto cívky jsou v pravidelných rozestupech namotány na toroidální komoru a tvoří tak prstencově svinutý solenoid o poloměru  $R_0$ . Proud  $I_{TFC}$ <sup>4</sup> vedený v cívkách vytváří podle Ampérova zákona toroidální magnetické pole  $\mathbf{B}_t$ :

$$\oint_{l_{tor}} \mathbf{B}_t \cdot d\mathbf{l} = \mu_0 I_{TFC} \Rightarrow B_t = \frac{\mu_0 N I_{TFC}}{2\pi R_0}. \quad (2)$$

Na nabité částice plazmatu – ionty a elektrony – tato Lorentzova síla působí tak, že zakrívuje jejich trajektorie do šroubovic okolo magnetických siločar (viz *Měrný náboj elektronu*, úloha 12 [5]) a zároveň působí proti kinetickému tlaku horkého plazmatu magnetickým tlakem  $\sim B^2/2\mu_0$ , čímž udržuje horké plazma mimo kontakt s komorou reaktoru.

### 3.3 Základní parametry plazmatu – elektronová teplota $T_e$ , elektronová hustota $n_e$

Jednou z jednoduše měřitelných a celkem dobře prozkoumaných veličin je elektrický odpor plazmatu. Odpor čistého, plně ionizovaného plazmatu  $R_p$  závisí pouze na elektronové teplotě  $T_e$  a nezávisí na hustotě plazmatu. Tato závislost je popsána Spitzerovou formulí. Přesný předpis není až tak podstatný, viz např. [7] nebo [2]. Podstatné je, že odpor plazmatu klesá s elektronovou teplotou:

$$R_p \propto T_e^{-\frac{3}{2}}. \quad (3)$$

Proto není možné ohřívat plazma ohmickým ohřevem neomezeně, neboť při vysokých teplotách má větší vodivost než čistá měď.

Střed plazmatu má vyšší teplotu a tedy nižší rezistivitu s vyšší proudovou hustotou než okrajové plazma. Měřená celková rezistivita  $R_p(t)$ , která je inverzí objemového integrálu vodivosti, smazává tuto informaci o rozdílech teplot. Protože v GOLEMovi neměříme rutinně profil elektronové teploty, budeme předpokládat parabolický průběh od centra k okraji. Za tohoto předpokladu lze pro GOLEM odvodit vztah pro centrální elektronovou teplotu v elektronvoltech:<sup>5</sup>

$$T_e(0, t) = \left( 0.7 \cdot \frac{I_p(t)}{U_l(t)} \right)^{2/3}, \quad [\text{eV; A, V}] \quad (4)$$

<sup>1</sup>Zbytek této pasáže je spíše pro potěchu ducha a není nezbytný pro potřeby splnění této úlohy.

<sup>2</sup>PC znamená Primary Coils.

<sup>3</sup>okolo plazmatického sloupce/vlákna

<sup>4</sup>TFC jako Toroidal Field Coils

<sup>5</sup>Mezi teplotou v elektronvoltech a v Kelvinech platí vztah  $1 \text{ eV} \approx 11600 \text{ K}$ .

kde  $I_p(t)$  je proud tekoucí plazmatem v ampérech a  $U_l$  je napětí na závit v transformátoru ve voltech.

Druhým základním parametrem plazmatu je elektronová hustota. V současné době není na tokamaku GOLEM funkční diagnostika pro měření této hustoty. K řádovému určení průměrné hustoty se ale dá použít stavová rovnice ideálního plynu za předpokladu, že hustota je konstantní během výboje a disociací molekuly vodíku získáme 2 elektrony. Přímo ze stavové rovnice potom plyne

$$\bar{n} = 2 \frac{p_0}{k_B T_{ch}}, \quad [\text{počet částic/m}^3, \text{Pa, K}] \quad (5)$$

kde  $\bar{n}$  je průměrná hustota,  $p_0$  je tlak neutrálního plynu v komoře a  $T_{ch}$  je pokojová teplota.

### 3.4 Energetická rovnováha plazmatu – ohmický příkon $P_{OH}$ , energie plazmatu $W_p$ a doba udržení $\tau_E$

Jediným zdrojem ohřevu plazmatu na tokamaku GOLEM je ohmický ohřev vznikající průchodem proudu plazmatem s konečnou vodivostí, resp. odporem plazmatu  $R_p$ . Časový vývoj ohmického příkonu  $P_{OH}$  ve stacionární fázi výboje (přiměřeně konstantní proud plazmatem  $I_p$ ) je dán vztahem

$$P_{OH}(t) = R_p(t) \cdot I_p^2(t) = U_l(t) \cdot I_p(t). \quad (6)$$

Celkovou tepelnou energii plazmatu spočteme z ekvipartičního teorému:

$$W_{th} = \frac{3}{2} k_B \int (n_e T_e + n_i T_i) dV \approx 3 k_B \int n_e T_e dV. \quad (7)$$

Pro dostatečně čisté vodíkové plazma a dostatečně vysokou hustotu můžeme předpokládat rovnost teplot elektronů a iontů a také rovnost hustot elektronů a iontů. Uvažujeme-li parabolický profil elektronové teploty a konstantní hustotu, lze celkovou energii plazmatu  $W_p$  vypočítat ze vzorce

$$W_{th}(t) = \frac{1}{3} \bar{n} k_B T_e(0, t) V, \quad [\text{J; m}^{-3}, \text{K, m}^3] \quad (8)$$

kde  $V$  je objem plazmatu,  $\bar{n}$  průměrná elektronová hustota,  $k_B$  Boltzmannova konstanta a  $T_e(0, t)$  centrální elektronová teplota. Tento vztah dává pouze řádový odhad energie a to z důvodu velmi hrubého odhadu hustoty. Na základě znalosti energie plazmatu  $W_{th}$  a ohmického příkonu  $P_{OH}$  lze ze zákona zachování energie spočítat energetické ztráty plazmatu

$$P_{loss}(t) = P_{OH}(t) - \frac{dW_{th}}{dt} \quad (9)$$

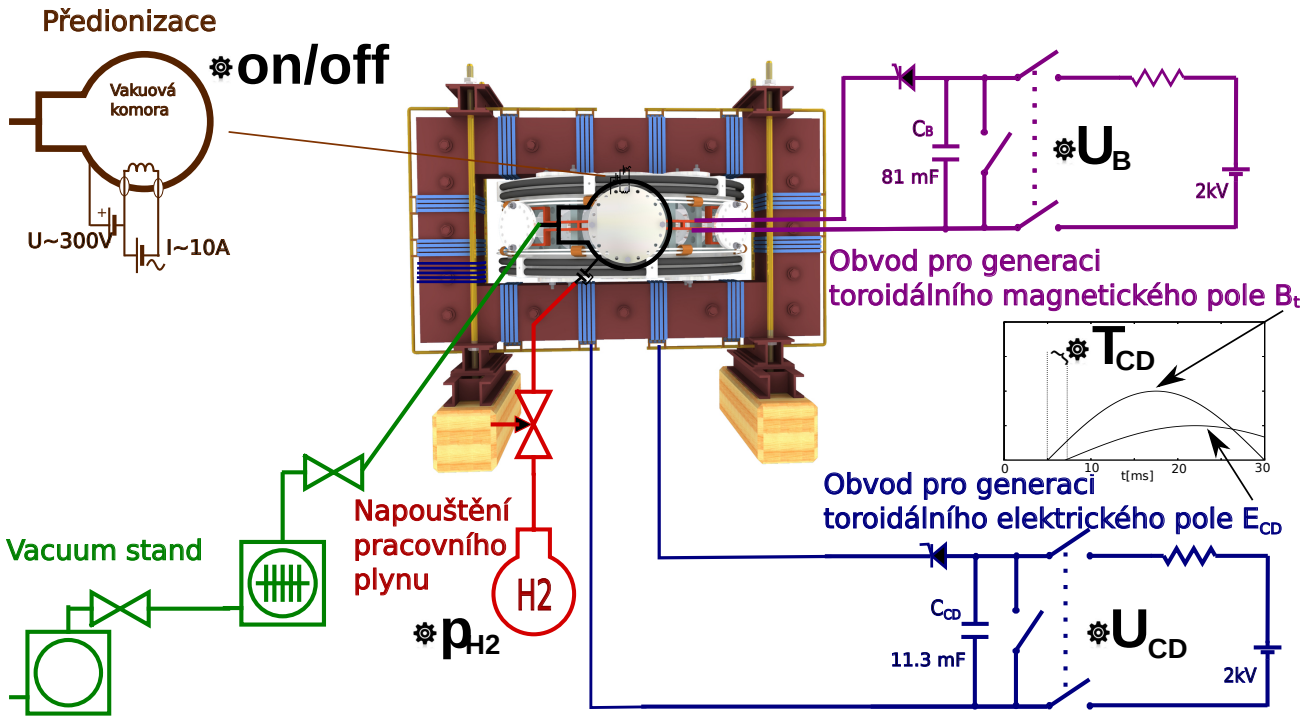
a následně i dobu udržení energie definovanou jako

$$\tau_E(t) \equiv \frac{W_{th}(t)}{P_{loss}(t)}. \quad (10)$$

V momentě maxima energie plazmatu je člen s derivací v rovnici (9) roven 0, tudíž ohmický příkon  $P_{OH}$  je roven ztrátám  $P_{loss}$ .

Doba udržení plazmatu je důležitým parametrem popisujícím globální energetickou rovnováhu plazmatu a představuje charakteristickou dobu vychladnutí plazmatu  $P_{loss} = W_{th}/\tau_E$ . Pokud by  $\tau_E(t)$  bylo konstantní, po vypnutí ohřevu by plazma chladlo exponenciálně s touto časovou konstantou.

Dosažení vyšších dob udržení je středem zájmu tokamakového výzkumu. Čas udržení na velkých tokamacích je  $0.1 - 1$  s, na tokamaku GOLEM by měl být menší než 1 ms.



Obr. 2: Schéma tokamaku GOLEM s naznačeným průběhem vybití kondenzátorových baterií a zobrazením nastaviteľných parametrov experimentu.

## 4 Experimentální uspořádání a postup měření

### 4.1 Tokamak GOLEM – technologické schéma

Minimalistickým cílem tohoto zařízení je současná generace plazmatu s proudem  $I_p \sim 10^3$  A za účelem jeho ohrevu a toroidálního magnetického pole  $B_t \sim 3 \cdot 10^{-1}$  T za účelem jeho udržení. K tomuto účelu se na tokamaku GOLEM před výbojem po jistou dobu nabíjí dvě kondenzátorové baterie ( $C_B$  a  $C_{CD}$ )<sup>6</sup> a současně se plní komora pracovním plynem - vodíkem. Takto uložená energie v kondenzátorech se impulzně během několika desítek milisekund vybije proudem  $I_{TFC}$  do 28 cívek generace toroidálního magnetického pole  $\mathbf{B}_t$  a dále proudem  $I_{PC}$  do cívek primáru transformátorového jádra generující toroidální elektrické pole  $\mathbf{E}_t$ . Takto se vytvoří potřebná, pro tokamak charakteristická (Obr. 1) konfigurace elektromagnetického pole  $\mathbf{E}_t$  a  $\mathbf{B}_t$ , jejímž působením se může zažehnout a po nějakou dobu udržet plazmatický výboj. Schéma celého experimentu a jeho popis včetně nastavení a doporučených ovládacích hodnot jsou na Obr. 2 a v Tab. 2.

### 4.2 Tokamak GOLEM – základní diagnostika

Nejzákladnější diagnostika plazmatu je založená na měření magnetických polí a magnetického toku v blízkém okolí plazmatu. Proto je každý tokamak vybaven sadami speciálních cívek, ve kterých se vlivem změn magnetického pole v průběhu výboje indukuje napětí. Vztah mezi napětím  $U_z$  a

Velký poloměr komory	$R_0 = 0,4$ m
Malý poloměr komory	$r_0 = 0,1$ m
Poloměr plazmatu (limiterový)	$a = 0,085$ m
Toroidální magnetické pole	$B_t \approx 0,3$ T
Počet cívek generujících $B_t$	$N = 28$
Toroidální magnetické pole	$B_t \approx 0,3$ T
Proud plazmatem	$I_p \approx 1$ kA
Délka výboje	$\tau \approx 10$ ms
Centrální elektronová teplota	$T_e \approx 40$ eV

Tab. 1: Základní parametry tokamaku GOLEM.

<sup>6</sup> $B$  = magnetické pole,  $CD$  = current drive – vlečení proudu

Scénář provedení výboje	Technologie	Nastavení	Doporučené hodnoty
<b>Vyčerpat komoru</b>	Dvoustupňový vakuový systém (rotační a turbomolekulární vývěva) čerpající komoru na tlak $\approx 1 \text{ mPa}$ .	automatické	–
<b>Napustit pracovní plyn</b>	Standardní průmyslová láhev s vodíkem, napojená přes počítacem řízený jehlový ventil do komory.	Součet tlaku reziduálního plynu a tlaku pracovního plynu parametrem " $p_{H_2}$ ".	$p_{H_2} \in (8, 15) \text{ mPa}$ .
<b>Zapnout předionizaci, usnadňující průraz neutrálního plynu do plazmatu</b>	Rozžhavené wolframové vlákna, emittující elektrony prostřednictvím elektronové termoemise (viz <i>Měření teploty wolframového vlákna</i> , úloha 11 [6]).	Volba "Preionization" na hodnotě "Bottom el. gun".	ON/OFF
<b>Iniciovat toroidální magnetické pole <math>B_t</math>, pro magnetické udržení plazmatu</b>	Elektrický obvod, tvořený kondenzátorem ( $C_B = 81 \text{ mF}$ ) připojeným přes počítacem řízený tyristor na 28 toroidálních cívek generujících magnetické pole $B_t < 0.5 \text{ T}$ . Jedná se tedy o LC obvod, takže časový průběh bude mít harmonický charakter (viz <i>Sériový a vázaný rezonanční obvod</i> , úloha 3 [9]).	Napětí na které se nabije kondenzátor " $U_B$ ". Zhruba platí, že $\max B_t \sim U_B/2 [\text{T}, \text{kV}]$ .	$U_B \leq 1300 \text{ V}$ .
<b>Iniciovat toroidální elektrické pole <math>E_t</math>, pro průraz neutrálního plynu do plazmatu a jeho následný ohřev</b>	Elektrický obvod, tvořený kondenzátorem ( $C_{CD} = 11.3 \text{ mF}$ ) připojeným přes počítacem řízený tyristor na primární cívku transformátorového jádra generující v tokamaku elektrické pole $E_t < 5 \text{ V/m}$ . Jedná se tedy o LC obvod, takže totéž jako u $B_t$ .	Napětí na které se nabije kondenzátor " $U_{CD}$ " a časové zpoždění, se kterým se sepne tyristor pro $E_t$ za tyristorem pro $B_t$ " $T_{CD}$ ".	$U_{CD} \leq 600 \text{ V}$ $T_{CD} \in (0, 10) \text{ ms}$ .

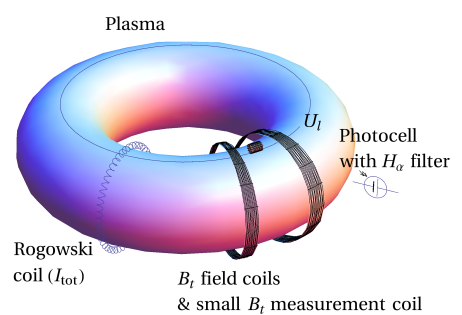
Tab. 2: Scénář postupu provedení výboje na tokamaku GOLEM s odkazem na příslušnou technologii a způsob nastavení na webovém rozhraní.

měřeným magnetickým polem  $\mathbf{B}_m$  jedním kruhovým závitem cívky je dán Faradayovým zákonem

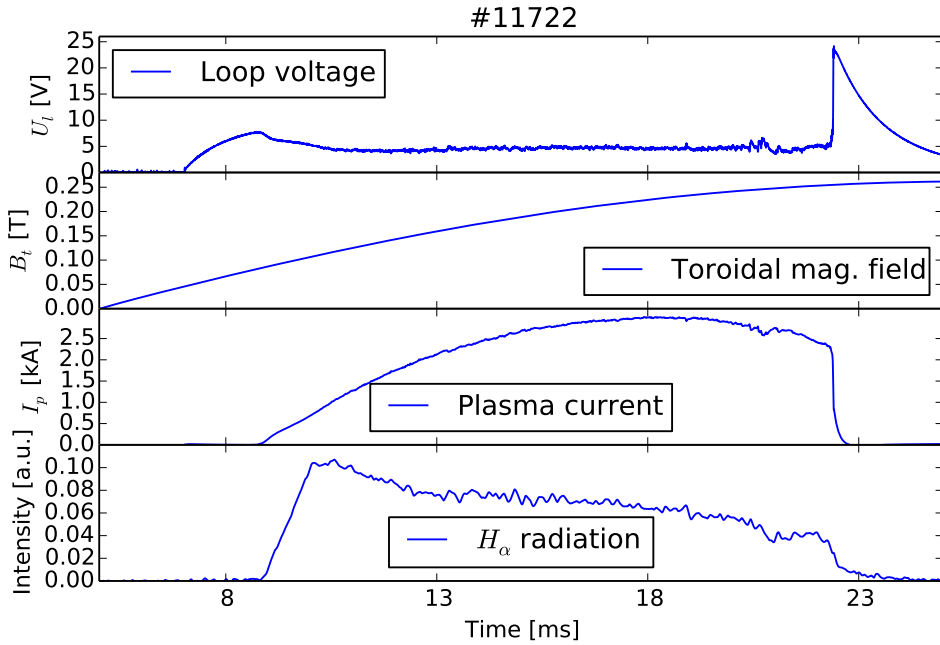
$$U_z = \oint_{\text{závit}} \mathbf{E}^{ind} \cdot d\mathbf{l} = -\frac{d}{dt} \int_S \mathbf{B}_m(t) \cdot d\mathbf{S} = -S_{\text{eff}} \frac{dB_m(t)}{dt}, \quad (11)$$

kde  $S_{\text{eff}}$  je efektivní plocha cívky kolmá na směr magnetického pole. Napětí je pak digitalizováno (případně nejdříve integrováno) a nakonec uloženo do databáze.

Vhodnou orientací a tvarem cívek (viz Obr. 3) lze měřit následující parametry: i) Napětí na závit  $U_l$  (reflekující  $\mathcal{E}^{ind}$ , resp.  $E_t$  – vztah (1) v základním popisu tokamaku). Jedná se o jeden závit cívky (v toroidálním směru) umístěný po obvodu komory. Tato cívka stejně jako komora představuje sekundár transformátoru a indukuje se na ní proto stejné napětí jako na komoře. Signál je veden přes dělič napětí, digitalizován a vynásoben kalibrační konstantou. ii) Magnetické pole  $B_t$ . Na malé cívce umístěné na komoře se indukuje napětí vlivem změny toku toroidálního magnetického pole. Samotné magnetické pole je dán časovou integrací signálu. Před integrací musí být signál pečlivě zbaven offsetu. Až potom je integrován a přenásoben kalibrační konstantou. iii) Celkový proud  $I_{tot}$  (plazmatem i kovovou komorou) je měřen skrze změnu toku poloidálního magnetického pole. Jedná se o důmyslně namotanou cívku obepínající komoru v poloidálním směru, jež si vysloužila název Rogowského pásek viz ([10]). Signál je upraven



Obr. 3: Základní diagnostický systém tokamaku GOLEM.



Obr. 4: Časový průběh základních diagnostik plazmatu na tokamaku GOLEM.

stejně jako signál pro  $B_t$ . Pro získání proudu plazmatem  $I_p$  je potřeba znát elektromagnetické vlastnosti komory (sekce 4.3). iv) Fotodioda s  $H_\alpha$  filtrem monitoruje záření plazmatu v oblasti spektra odpovídající přechodu elektronů mezi druhou a třetí energetickou hladinou vodíku  $\lambda = 656.3$  nm (viz *Balmerova série*, úloha 4 [1]). Časový záznam zapálení a udržení plazmatického výboje #11722 v tokamaku GOLEM lze vidět na Obr. 4. Zapálení plazmatu lze identifikovat v čase cca 9 ms po dobu cca 14 ms. Svědčí o tom pokles napětí na závit  $U_l$ , signál z fotodiody s  $H_\alpha$  filtrem a nárůst proudu  $I_p$ . Signál  $B_t$  představuje průběh vnějšího magnetického pole sloužícího k udržení plazmatu v komoře a signál  $I_p$  monitoruje proud plazmatem. Jednotlivé průběhy jsou dostupné na homepage individuálního výboje jednoduchým odkazem <http://golem.fjfi.cvut.cz/shots/#ShotNo>, kde ”#ShotNo” je nutno nahradit konkrétním pořadovým číslem výboje.

### 4.3 Měření základních parametrů komory

Při výbojích v tokamaku teče část proudu komorou. Tento fakt musíme brát v úvahu při interpretaci experimentálních výsledků. Zjištění elektromagnetických vlastností komory je možné provést během vakuového výstřelu (výstřel bez pracovního plynu), kdy celkový měřený proud teče pouze komorou. Průběh napětí na závit v momentě maximálního proudu komorou, kdy můžeme pro jednoduchost výpočtu zanedbat vlastní indukčnost komory, pro vakuový výstřel je dán rovnici

$$U_l(t) = R_{ch} \cdot I_{tot}(t), \quad (12)$$

kde  $R_{ch}$  je odpor komory a  $I_{tot}$  je celkový proud změřený Rogowským páskem. Použitím měření napětí na závit a Rogowského pásku známe časový průběh  $U_l$  i  $I_{tot}$ . Pro určení parametrů lze použít metodu nejmenších čtverců a pro fitování lze použít například program Gnuplot [8].

#### 4.4 Měření proudu plazmatem $I_p$

Proud tekoucí plazmatem a komorou představuje dva paralelní LR obvody (komoru tokamaku a samotné plazma) připojené jako sekundár transformátoru. Obvod lze popsat systémem rovnic

$$U_l(t) = R_{ch} \cdot I_{ch}(t), \quad (13)$$

$$U_l(t) = R_p(t) \cdot I_p(t), \quad (14)$$

$$I_{tot}(t) = I_p(t) + I_{ch}(t). \quad (15)$$

Zatímco indukčnost a odpor komory je konstatní a obě veličiny mohou být změřeny při vakuovém výstřelu, parametry plazmatu se liší výboj od výboje.

## 5 Poznámky

1. Žádáme studenty, aby si prostudovali doprovodné stránky k úloze, které najdou na <http://golem.fjfi.cvut.cz/KFprakt> [3]. Především je důležité se připravit teoreticky (třeba i na případné dotazy) a určitě je nutné dopředu zvládnout práci se vzdálenými datovými soubory.
2. Rozsah parametrů, které je možno volit při provozu tokamaku, je jištěn. Není tedy nutné se obávat, že by mohlo dojít nějakou nevhodnou kombinací k poškození zařízení.
3. Bezpečnostní upozornění: příprava na výboj je indikována hlasovým upozorněním a světelními výstražnými signály. Po jejich zaznění/rozsvícení je nutno bezpodmínečně opustit místo tokamaku.
4. Kalibrační konstanta improvizovaného Rogowského pásku má hodnotu  $1.1 \cdot 10^7 \text{ A/V}$  (integrační krok  $2 \cdot 10^{-6} \text{ s}$ ).
5. Zařazení této úlohy do základních praktik KF FJFI je pro tým tokamaku GOLEM ctí a výzvou. Budeme velmi vděčni všem studentům, kteří úlohu absolvují, za připomínky a podněty, které by mohly vést ke zkvalitnění této úlohy v praktiku. Prosíme o jejich poslání na adresu [svoboda@fjfi.cvut.cz](mailto:svoboda@fjfi.cvut.cz). Jmérem týmu předem děkuje Vojtěch Svoboda, vedoucí experimentu.

## Odkazy

- [1] *Balmerova série*. Úloha č. 4. Praktikum KF FJFI II, <http://praktikum.fjfi.cvut.cz/mod/resource/view.php?id=193>.
- [2] Brotankova, J. "Study of high temperature plasma in tokamak-like experimental devices". In: (PhD. thesis 2009).
- [3] Golem Wiki contributors. *Dopravodná www stránka pro úlohu Tokamak GOLEM ve Fyzikálním praktiku KF FJFI*. [Online; accessed 30-January-2014]. 2014. URL: <http://golem.fjfi.cvut.cz/KFprakt>.
- [4] G. McCracken a P. Stott. *Fúze – energie vesmíru*. MF, 2006.
- [5] *Měrný náboj elektronu*. Úloha č. 12. Praktikum KF FJFI II, <http://praktikum.fjfi.cvut.cz/mod/resource/view.php?id=201>.
- [6] *Měření teploty wolframového vlákna*. Úloha č. 11. Praktikum KF FJFI II, <http://praktikum.fjfi.cvut.cz/mod/resource/view.php?id=3149>.
- [7] *NRL plasma formulary*. Naval Research Laboratory, 2009.
- [8] *Návod pro Gnuplot*. Doprovodné dokumenty pro Praktikum, [http://praktikum.fjfi.cvut.cz/documents/navod\\_gnuplot.pdf](http://praktikum.fjfi.cvut.cz/documents/navod_gnuplot.pdf). URL: [http://praktikum.fjfi.cvut.cz/documents/navod\\_gnuplot.pdf](http://praktikum.fjfi.cvut.cz/documents/navod_gnuplot.pdf).
- [9] *Rezonanční obvody*. Úloha č. 3. Praktikum KF FJFI II, <http://praktikum.fjfi.cvut.cz/mod/resource/view.php?id=192>.
- [10] *Rogowski coil*. Wikipedia (v české verzi je špatný obrázek, používejte anglickou) [http://en.wikipedia.org/wiki/Rogowski\\_coil](http://en.wikipedia.org/wiki/Rogowski_coil). URL: [http://en.wikipedia.org/wiki/Rogowski\\_coil](http://en.wikipedia.org/wiki/Rogowski_coil).
- [11] I. Štoll. *Elektřina a magnetismus*. Vydavatelství skript ČVUT, Praha, 1998.